

lez. 02 : riassunto

rappresentazione di sistemi dinamici NON LINEARI

→ rappresentazione interna

linearizzazione \approx approssimazione di un sistema non lineare con un sistema lineare intorno a una certa condizione operativa

↳ punti di equilibrio

$$\bar{x} \in \mathbb{R}^n \quad x(t) = \bar{x} \quad \forall t \geq 0$$

- semplicemente stabili
- asintoticamente stabili

$$\dot{x}(t) = f(x, u)$$

$$\begin{aligned} x &\in \mathbb{R}^n \\ u &\in \mathbb{R}^m \end{aligned}$$

↳ (\bar{x}, \bar{u})

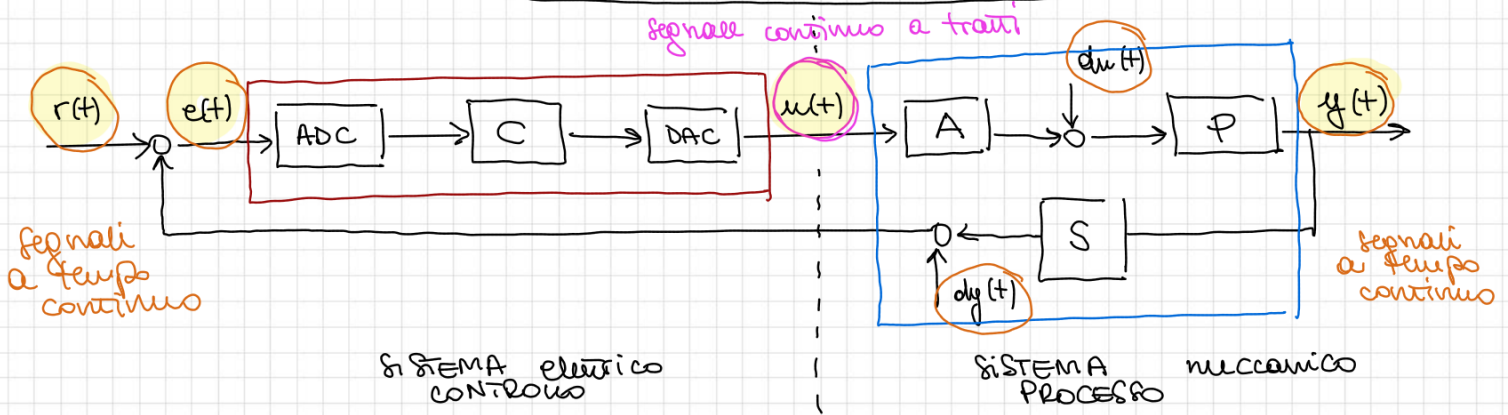
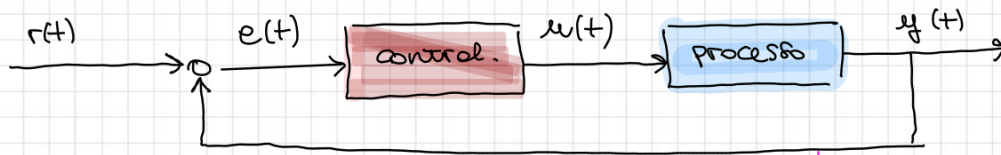
$$\dot{\delta x} = F \delta x + G \delta u$$

$$\begin{aligned} \delta x &= x - \bar{x} \\ \delta u &= u - \bar{u} \end{aligned}$$

$$F \delta = J_f^{(x)}(\bar{x}, \bar{u}) \in \mathbb{R}^{n \times n}$$

$$G \delta = J_f^{(u)}(\bar{x}, \bar{u}) \in \mathbb{R}^{n \times m}$$

MODELLIZZAZIONE di un SISTEMA DINAMICO REALE (controllato)



SISTEMA PROCESSO

P : processo vero e proprio - sistemi dinamici descritti da equazioni integro/differenziali

S : sensore - convertitore di una grandezza fisica in uscita dal processo in un segnale elettrico compatibile con il sistema di controllo

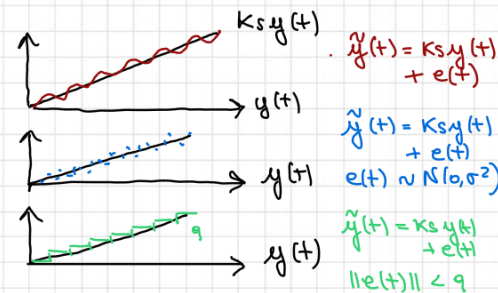
• modello ideale $\begin{matrix} y(t) \\ \rightarrow \\ \boxed{K_S} \\ \rightarrow \\ \tilde{y}(t) \end{matrix} \quad \tilde{y}(t) = K_S y(t)$

• modello reale $\begin{matrix} y(t) \\ \rightarrow \\ \boxed{H(s)} \\ \text{passa basso} \\ \rightarrow \\ \boxed{K_S} \\ \rightarrow \\ \text{summing junction} \\ \rightarrow \\ \tilde{y}(t) \end{matrix} \quad \begin{matrix} dy(t) \\ \downarrow \\ \text{summing junction} \end{matrix} \quad \tilde{y}(t) = H(s) K_S y(t) + dy(t)$

$$H(s) = \frac{1}{1+sT_b} \quad T_b \propto \text{bande passante}$$

$dy(t)$: combinazione di errori dovuti

-) accuratezza ■
-) precisione ■
-) quantizzazione ■



A : attuatore - convertitore di un segnale elettrico in uscita dal controllore in una grandezza fisica compatibile con il processo

• modello ideale $\begin{matrix} u(t) \\ \rightarrow \\ \boxed{K_A} \\ \rightarrow \\ \tilde{u}(t) \end{matrix} \quad \tilde{u}(t) = K_A u(t)$

• modello reale $\begin{matrix} u(t) \\ \rightarrow \\ \boxed{\text{summing junction}} \\ \rightarrow \\ \boxed{H(s)} \\ \text{passa basso} \\ \rightarrow \\ \boxed{K_A} \\ \rightarrow \\ \text{summing junction} \\ \rightarrow \\ \tilde{u}(t) \end{matrix} \quad \begin{matrix} du(t) \\ \downarrow \\ \text{summing junction} \end{matrix} \quad \tilde{u}(t) = H(s) K_A \bar{u}(t) + du(t)$

$$H(s) = \frac{1}{1+sT_b} \quad T_b \propto \text{bande passante}$$

$du(t)$: combinazione di errori

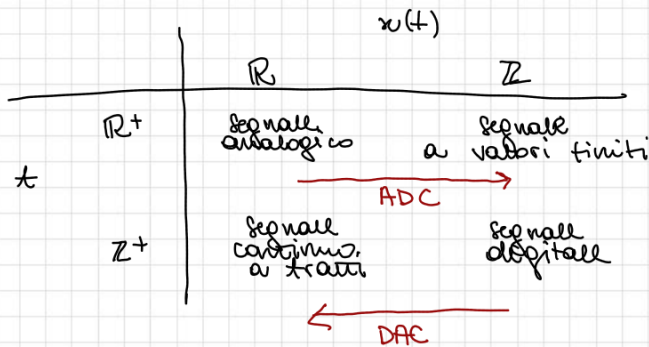
$$\bar{u}(t) = \begin{cases} u_{max} & u(t) > u_{max} \\ u(t) & u_{min} < u(t) < u_{max} \\ u_{min} & u(t) < u_{min} \end{cases}$$

SISTEMA CONTROLLO

C : controllore digitale

ADC : convertitore analogico - digitale

DAC : convertitore digitale - analogico



MODELLO DEL QUADROTOR

UAV - Unmanned Aerial Vehicle

4 attuatori = 4 propellers = motore + elica

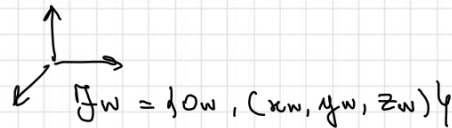
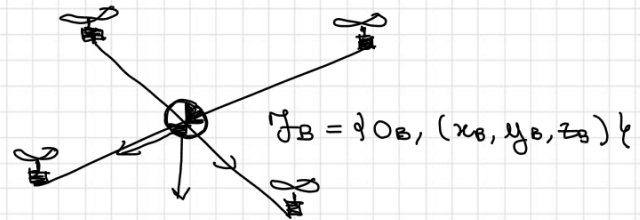
↳ corpo rigido nello spazio 3D

- m : massa
- $J = \text{diag}(J_x, J_y, J_z)$

$p \in \mathbb{R}^3$: posizione O_B in \mathcal{F}_W

$R \in \text{SO}(3)$: rotazione tra \mathcal{F}_B e \mathcal{F}_W

$\delta \in \mathbb{R}^3$



NED : North East Down

per convenzione

$\mathcal{F}_W = \{O_W, (x_W, y_W, z_W)\}$

con

$$O_W = \begin{bmatrix} 0 & 0 & 0 \end{bmatrix}^T$$

$$(x_W, y_W, z_W) = (e_1, e_2, e_3)$$

$$e_1 = \begin{bmatrix} 1 \\ 0 \\ 0 \end{bmatrix}, e_2 = \begin{bmatrix} 0 \\ 1 \\ 0 \end{bmatrix}, e_3 = \begin{bmatrix} 0 \\ 0 \\ 1 \end{bmatrix}$$

$$R_x(\phi) = \begin{bmatrix} 1 & 0 & 0 \\ 0 & c\phi & -s\phi \\ 0 & s\phi & c\phi \end{bmatrix}$$

$$R_y(\theta) = \begin{bmatrix} c\theta & 0 & s\theta \\ 0 & 1 & 0 \\ -s\theta & 0 & c\theta \end{bmatrix}$$

$$R_z(\psi) = \begin{bmatrix} c\psi & -s\psi & 0 \\ s\psi & c\psi & 0 \\ 0 & 0 & 1 \end{bmatrix}$$

$$R = {}^W R_B = R_z(\psi) R_y(\theta) R_x(\phi)$$

$$= R(\psi, \theta, \phi) = R(\delta)$$

$\delta = \begin{bmatrix} \phi \\ \theta \\ \psi \end{bmatrix}$ roll pitch yaw

▣ modello cinematico

$p \in \mathbb{R}^3$: $v \in \mathbb{R}^3$: velocità lineare in \mathcal{F}_w
 $\delta \in \mathbb{R}^3$: $\omega \in \mathbb{R}^3$: velocità angolare in \mathcal{F}_B

$$\begin{aligned} \dot{p} &= v \\ \dot{\delta} &= T \omega \end{aligned} \quad T = \begin{bmatrix} 1 & s\phi \tan\theta & c\phi \tan\theta \\ 0 & c\phi & -s\phi \\ 0 & \frac{s\phi}{c\theta} & \frac{c\phi}{c\theta} \end{bmatrix} \in \mathbb{R}^{3 \times 3}$$

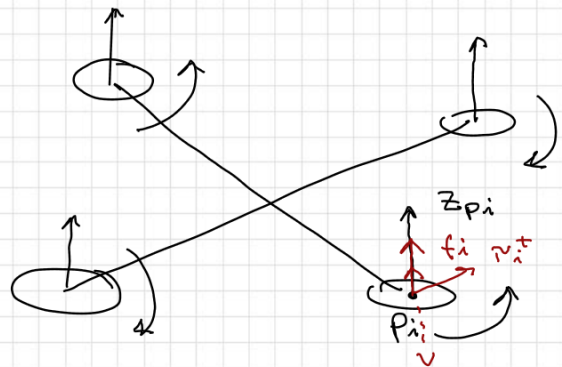
$$\begin{aligned} > \dot{R}(\delta) &= \frac{\partial R}{\partial \delta} \cdot \dot{\delta} = \frac{\partial R}{\partial \phi} \dot{\phi} + \frac{\partial R}{\partial \theta} \dot{\theta} + \frac{\partial R}{\partial \psi} \dot{\psi} = \begin{bmatrix} \frac{\partial R}{\partial \phi} & \frac{\partial R}{\partial \theta} & \frac{\partial R}{\partial \psi} \end{bmatrix} \underbrace{\begin{bmatrix} \dot{\phi} \\ \dot{\theta} \\ \dot{\psi} \end{bmatrix}}_{\dot{\delta}} \\ > \dot{R} &= R [w]_{\times} \quad \text{con} \quad [w]_{\times} = \begin{bmatrix} 0 & -\omega_z & \omega_y \\ \omega_z & 0 & -\omega_x \\ -\omega_y & \omega_x & 0 \end{bmatrix} \end{aligned}$$

▣ modello dinamico

$z_{pi} \in \mathbb{R}^3$: asse di spinning
 $z_{pi} = \begin{bmatrix} 0 \\ 0 \\ 1 \end{bmatrix} \quad \forall i = 1 \dots 4$

$p_i \in \mathbb{R}^3$: com propeller in \mathcal{F}_B

$\omega_i \in \mathbb{R}$: velocità di spinning



ogni i -esimo attuatore genera

- forze di thrust : $f_i = c_f \cdot \omega_i^2 \cdot z_{pi} = c_f \cdot \omega_i^2 \cdot e_3 = \begin{bmatrix} 0 \\ 0 \\ c_f \cdot \omega_i^2 \end{bmatrix}$
- coppie di thrust : $\tau_i^t = c_f \cdot \omega_i^2 (p_i \times z_{pi}) = \begin{bmatrix} c_f \cdot \omega_i^2 p_{i2} \\ -c_f \cdot \omega_i^2 p_{i1} \\ 0 \end{bmatrix}$
- coppie di drag : $\tau_i^d = \pm c_r \omega_i^2 z_{pi} = \begin{bmatrix} 0 \\ 0 \\ \pm c_r \omega_i^2 \end{bmatrix}$

nel com del quadrotor agisce

- forze di controllo $f_c \in \mathbb{R}^3$: $f_c = \sum_{i=1}^4 f_i = \begin{bmatrix} 0 \\ 0 \\ \sum_{i=1}^4 c_f \cdot \omega_i^2 \end{bmatrix} = \begin{bmatrix} 0 \\ 0 \\ F \end{bmatrix}$
- coppie di controllo $\tau_c \in \mathbb{R}^3$: $\tau_c = \sum_{i=1}^4 (\tau_i^d + \tau_i^t) = \begin{bmatrix} \tau_1 \\ \tau_2 \\ \tau_3 \end{bmatrix}$

$$m \dot{v} = -mg e_3 + R(\delta) f_c$$

$$J \dot{\omega} = -\omega \times J \omega + \tau_c$$

LINEARIZZAZIONE

hovering statico: $p = \bar{p}$, $\delta = \bar{\delta}$, $v = 0$, $\omega = 0$
 $(\delta = 0)$

$$x = \begin{bmatrix} p \\ \delta \\ v \\ \omega \end{bmatrix} \in \mathbb{R}^{12}$$

$$u = \begin{bmatrix} F \\ \tau_1 \\ \tau_2 \\ \tau_3 \end{bmatrix} = \begin{bmatrix} \|f_c\| \\ \tau_c \end{bmatrix} \in \mathbb{R}^4$$

modello non lineare cinematico + dinamico

$$\dot{x} = \begin{bmatrix} \dot{p} \\ \dot{\delta} \\ \dot{v} \\ \dot{\omega} \end{bmatrix} = \underbrace{\begin{bmatrix} v \\ T\omega \\ -g e_3 + m^{-1} R(\delta) f_c \\ J^{-1}(-\omega \times J \omega + \tau_c) \end{bmatrix}}_{f(x, u)} = \underbrace{\begin{bmatrix} v \\ T\omega \\ -g e_3 \\ J^{-1}(-\omega \times J \omega) \end{bmatrix}}_{f_1(x)} + \underbrace{\begin{bmatrix} 0 \\ 0 \\ m^{-1} R(\delta) f_c \\ J^{-1} \tau_c \end{bmatrix}}_{f_2(x, u)}$$

dipendenza NON LINEARE dallo stato
dipendenza NON LINEARE dallo stato ma LINEARE dall'ingresso

$$f_2(x, u) = \begin{bmatrix} 0 \\ 0 \\ m^{-1} R(\delta) f_c \\ J^{-1} \tau_c \end{bmatrix} = F_2(x) u$$

$$\bar{x} = \begin{bmatrix} \bar{p} \\ 0 \\ 0 \\ 0 \end{bmatrix}$$

$$\bar{u} = \begin{bmatrix} mg \\ 0 \\ 0 \\ 0 \end{bmatrix}$$

$$F = J_f^{(x)}(\bar{x}, \bar{u}) = \left. \frac{\partial f_1(x)}{\partial x} \right|_{\substack{x=\bar{x} \\ u=\bar{u}}} + \left. \frac{\partial f_2(x, u)}{\partial x} \right|_{\substack{x=\bar{x} \\ u=\bar{u}}}$$

$$= \begin{bmatrix} 0 & 0 & I & 0 \\ 0 & 0 & 0 & T \\ 0 & F_{32} & 0 & 0 \\ 0 & 0 & 0 & 0 \end{bmatrix}$$

$$= \begin{bmatrix} \frac{\partial \dot{p}}{\partial p} & \frac{\partial \dot{p}}{\partial \delta} & \frac{\partial \dot{p}}{\partial v} & \frac{\partial \dot{p}}{\partial \omega} \\ \frac{\partial \dot{\delta}}{\partial p} & \frac{\partial \dot{\delta}}{\partial \delta} & \frac{\partial \dot{\delta}}{\partial v} & \frac{\partial \dot{\delta}}{\partial \omega} \\ \frac{\partial \dot{v}}{\partial p} & \frac{\partial \dot{v}}{\partial \delta} & \frac{\partial \dot{v}}{\partial v} & \frac{\partial \dot{v}}{\partial \omega} \\ \frac{\partial \dot{\omega}}{\partial p} & \frac{\partial \dot{\omega}}{\partial \delta} & \frac{\partial \dot{\omega}}{\partial v} & \frac{\partial \dot{\omega}}{\partial \omega} \end{bmatrix}$$

$$F_{32} = \begin{bmatrix} 0 & 0 & 0 \\ -g & 0 & 0 \\ 0 & 0 & 0 \end{bmatrix}$$

$$T(\delta) = T(0) = I$$

$$f_2(x, \mu) = F_2(x) \mu$$

$$\begin{aligned} G &= J_f^{(w)}(\bar{x}, \bar{\mu}) = \left. \frac{\partial f_1(x)}{\partial \mu} \right|_{\substack{x=\bar{x} \\ \mu=\bar{\mu}}} + \left. \frac{\partial f_2(x, \mu)}{\partial \mu} \right|_{\substack{x=\bar{x} \\ \mu=\bar{\mu}}} \\ &= 0 + F_2(x) \Big|_{\substack{x=\bar{x} \\ \mu=\bar{\mu}}} \\ &= \begin{bmatrix} 0 \\ 0 \\ G_3 \\ G_4 \end{bmatrix} \\ &\quad 12 \times 4 \end{aligned}$$

$$G_3 = \begin{bmatrix} 0 & 0 & 0 & 0 \\ 0 & 0 & 0 & 0 \\ 1/m & 0 & 0 & 0 \end{bmatrix}$$
$$G_4 = \begin{bmatrix} 0 & J_{\bar{x}}^{-1} & 0 & 0 \\ 0 & 0 & J_{\bar{y}}^{-1} & 0 \\ 0 & 0 & 0 & J_{\bar{z}}^{-1} \end{bmatrix}$$

$$\dot{x} = Fx + G\dot{w}$$